

## بهینه‌سازی چندهدفه تبدیل یک نیروگاه بخار قدیمی به سیکل ترکیبی با استفاده از بویلهای بازیاب حرارت

### تک‌فشاره و دوفشاره به‌وسیله الگوریتم ژنتیک\*

(یادداشت پژوهشی)

محمد رضا ارباب تقی (۱)

غلام‌حسن پایگانه (۲)

عبدالله مهرپناهی (۳)

صادق نیک‌بخت ناصرآباد (۴)

**چکیده** در تحقیق حاضر با توجه به اهمیت نیروگاه بخار بندرعباس از لحاظ موقعیت و حجم برق تولیدی، به بررسی انجام بازنویسی کامل بر روی آن پرداخته شده است. روند کار به این صورت است که بعد از انجام مدل‌سازی و انطباق داده‌های مدل‌سازی با سیکل واقعی و راستی آرمانی مدل به ارائه نتایج حاصل از مدل نظر در انجام بازنویسی پرداخته شده است. بهینه‌سازی با استفاده از توابع راندمان اگزرژی و هزینه برق تولیدی و به‌وسیله روش الگوریتم ژنتیک انجام پذیرفته است. در نهایت نمودار به دست آمده (منحنی پارتو) نمایشی از روند تغییرات هزینه براساس تغییرات راندمان (اگزرژی) را ارائه خواهد داد که در تصمیم‌سازی و انتخاب حالت مد نظر و مطلوب سرمایه‌کاری مؤثر خواهد بود. نتایج حاصل از بهینه‌سازی دو هدفه بازنویسی نیروگاه بخار با دو بویله بازیاب حرارت تک‌فشاره و دوفشاره، نشان‌دهنده ارتقای راندمان اگزرژی نیروگاه تا مقداری بالاتر از ۶۴ درصد می‌باشد.

**واژه‌های کلیدی** سیکل ترکیبی؛ نیروگاه بخار؛ بویله بازیاب حرارت؛ هزینه برق تولیدی؛ راندمان اگزرژی.

## Multi Objective Optimization of Converting an Old Steam Power Plant to Combined Cycle Power Plant (CCPP) Using Double and Single Pressure Heat Recovery Steam Generator (HRSG) via Genetic Algorithm

S. Nikbakht Naserabad  
Gh. PayganehA. Mehrpanahi  
M.R. Arbab Tafti

**Abstract** In this study, Given the importance of Bandar Abbas steam power plant in terms of Location and its electricity generating, it has been considered for applying the repowering method. After reference cycle modeling and assessing results accuracy, the applied repowering method has been implemented and it's results reported in four main scenarios. Exergy efficiency and electricity generation cost (per kWh) have been considered as objective functions. Based on the six independent variables and four different scenario multi objective optimization has been done. The final reported results can be implemented by the energy managements for making the best decision and choosing the adequate option. Multi objective optimization of proposed combined cycles with single and double pressure heat recovery boilers indicate that the exergy efficiency upgrades up to 46%.

**Key Words** Combined Cycle; Steam Power Plant; Heat Recovery Steam Generator (HRSG); Electricity Generation Cost; Exergy efficiency.

\*تاریخ دریافت مقاله ۹۳/۱۲/۱۲ و تاریخ پذیرش آن ۹۳/۱۲/۱۱ می‌باشد.

(۱) دانشجوی کارشناسی ارشد، دانشکده مهندسی مکانیک، دانشگاه تربیت دبیر شهید رجایی، تهران.

(۲) نویسنده مسئول: دانشجوی دکترا، دانشکده مهندسی مکانیک، دانشگاه تربیت دبیر شهید رجایی، تهران. mehrpanahi@srttu.edu

(۳) دانشیار، دانشکده مهندسی مکانیک، دانشگاه تربیت دبیر شهید رجایی، تهران.

(۴) استادیار، دانشکده مهندسی مکانیک، دانشگاه تربیت دبیر شهید رجایی، تهران.

## مقدمه

تجهیزات، به بهینه‌یابی سیستم بخار الحاقی با توجه به فلسفه کترلی بهینه قابل دست‌یابی اقدام شده است. به این منظور در نظر داشتن محدودیت‌های سیکل موجود نظیر دبی بخار قابل پذیرش کنداسور و دمای گازهای خروجی از بویلر بازیاب حرارت در فرآیند مدل‌سازی سیکل جدید ضروری به نظر می‌رسد.

در زمینه بازتوانی نیروگاههای بخار علی‌رغم اهمیت این روش‌ها مقالات تحقیقی قابل ارجاع اندکی انتشار یافته است. از جمله موارد بررسی شده توسط براندر و همکاران است که موارد کلی در تغییر سیکل‌های بخار به سیکل‌های ترکیبی حاصل از اعمال بازتوانی کامل را بیان نموده و نتایج حاصل نشان می‌دهد که تعدادی از نیروگاههای تحت بررسی به لحاظ اقتصادی قابلیت بازتوانی ندارند [3].

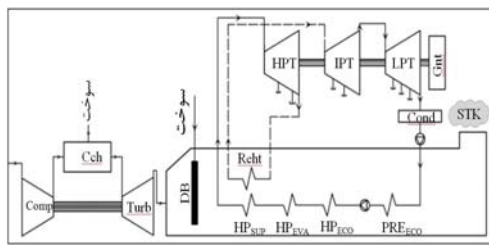
در این تحقیق برای بهینه‌یابی چندهدفه از دو تابع هدف فنی و اقتصادی استفاده شده است. به‌منظور ارائه نتایج ملموس‌تر، با وجود تنوع بالا در ارائه توابع هدف اقتصادی از تابع واحد هزینه برق تولیدی استفاده شده است. تابع هدف راندمان اگزرژی نیز به عنوان تابع هدف فنی سیستم انتخاب شده است. این پژوهش با اعمال محدودیت حداقل هزینه برق تولیدی، راندمان اگزرژی بهینه را در هر حالت برای مقادیر متفاوت هزینه برق تولیدی به دست آورده و به صورت نمودارهای موسوم به نمودارهای پارتو ارائه نموده است. در انتها با توجه به رابطه رقابتی بین کاهش هزینه برق تولیدی و افزایش راندمان اگزرژی، نقطه کارکرد بهینه‌فنی-اقتصادی در هر حالت، و مشخصات سیکل بازتوانی در این نقطه مشخص شده است.

باتوجه به اهمیت موضوع تولید برق در کشور، نتایج تحقیق، دستاوردي مفید در راستای برنامه‌های اقتصادی کشور به خصوص برنامه پنج ساله پنجم توسعه اقتصادی-اجتماعی و سیاسی کشور می‌باشد، که مطابق این برنامه می‌باشد راندمان تولید برق در

هدف کلی از اجرای روش‌های بازتوانی احیای سیستم با استفاده از بازیاب حرارت خروجی از توربین(های) گاز به‌وسیله بخش بخاری موجود است. یکی از روش‌های متداول بازتوانی، که برای نیروگاههای بخار با عمر بالای ۲۵ سال مناسب هستند، بازتوانی کامل گفته می‌شود. هزینه تأسیس چنین نیروگاههای ۷۰ تا ۸۰ درصد یک نیروگاه سیکل ترکیبی با توان مشابه است که اثر قابل ملاحظه‌ای در مدت زمان بازگشت سرمایه خواهد داشت. در صورت برنامه‌ریزی متولیان بخش تولید انرژی در کشور، روش‌های بازتوانی کامل پتانسیل افزایش توان تا ۱۳ گیگاوات نسبت به حالت موجود را داراست [1].

تحقیق حاضر با در نظر گرفتن امکان تولید تجهیزات بازتوانی در کشور انجام شده است به همین دلیل مبنای تولید مدل، استفاده از تجهیزات داخلی متداول در ساخت نیروگاههای سیکل ترکیبی بوده است. تجهیزات اصلی در تبدیل نیروگاه بخار به نیروگاه سیکل ترکیبی بویلر بازیاب حرارت و توربین گاز است. با توجه به توانایی و تجربه ساخت بویلرهای بازیاب تک‌فشاره و دوفشاره در کشور، این نوع از بویلرهای بازیاب حرارت در نیروگاه بازتوانی شده استفاده می‌شود. از مهم‌ترین محدودیت‌های موجود در استفاده از بویلرهای بازیاب حرارت، تأمین فشار لازم در بخش فشار بالای نیروگاههای سیکل ترکیبی است که با وجود پیشرفت‌های سال‌های اخیر، امکان تولید بخار با فشار تا ۲۰ مگاپاسکال فراهم شده است [2].

با توجه به تولید توربین‌های گاز صنعتی توان بالای V94.2 در کشور و استفاده گسترده از این توربین‌ها در ایجاد نیروگاههای سیکل ترکیبی، از این توربین‌ها در تولید انرژی ورودی به سیکل بازتوانی استفاده شده است. در نهایت و با انتخاب این



شکل ۲ شکل تغیر ساختار یافته نیروگاه بخار بندرعباس پس از بازتوانی با بویلر بازیاب حرارت تک‌فشاره

### توابع هدف

راندمان اگزرژی. با نادیده گرفتن انرژی هسته‌ای، مغناطیسی، الکتریکی و تأثیرکشش سطحی، در یک سیستم حرارتی، اگزرژی شامل چهار جزء است که به شرح زیر می‌باشد [۵، ۶]:

$$E = E^{PH} + E^{KN} + E^{PT} + E^{CH} \quad (1)$$

اجزای تشکیل‌دهنده اگزرژی کل در معادله بالا به ترتیب اگزرژی فیزیکی، اگزرژی جنبشی، اگزرژی پتانسیل و اگزرژی شیمیایی می‌باشند. بنابراین اگزرژی مخصوص یک سیستم از رابطه زیر پیروی می‌نماید:

$$e = e^{PH} + e^{KN} + e^{PT} + e^{CH} \quad (2)$$

برای یک فرآیند پایا مقادیر اگزرژی جنبشی و پتانسیل نادیده در نظر گرفته می‌شود [۷]. اگزرژی فیزیکی برای بخار به صورت زیر تعریف می‌گردد [۸]:

$$e^{PH} = (h - h_0) - T_0(s - s_0) \quad (3)$$

به طور کلی برای گازها اگزرژی فیزیکی به صورت زیر تعریف می‌شود [۸]:

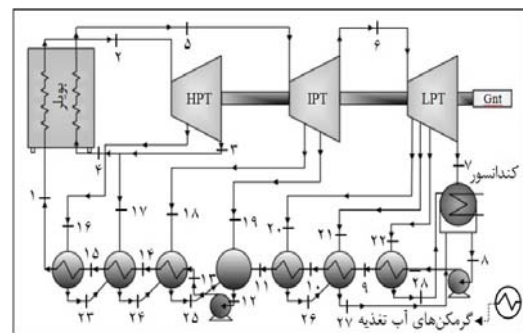
$$e^{PH} = C_{p(T)} \left[ T - T_0 - T_0 \ln \left( \frac{T}{T_0} \right) \right] + RT_0 \left( \frac{p}{p_0} \right) \quad (4)$$

اگزرژی شیمیایی گازهای سوخته شده و هوا نسبت به اگزرژی فیزیکی آنها مقادیری قابل صرف نظر

کشور تا پایان سال ۹۳ به ۴۱ درصد بررسد [۴] و نیروگاه بخار بندرعباس با راندمان حرارتی ۲۵ درصد (راندمان کنونی)، مشمول این قانون می‌باشد.

### معرفی نیروگاه بخار بندرعباس

این نیروگاه در کنار دریا احداث شده است و از آب دریا با دمای میانگین ۲۷ درجه سانتی‌گراد برای چگالش بخار استفاده می‌نماید. در حالت طراحی راندمان حرارتی نیروگاه معادل ۳۸/۷ درصد و حداقل درجه حرارت محیط ۴۸ درجه سانتی‌گراد می‌باشد. مطابق شکل (۱) هر واحد نیروگاه بخار مشتمل از بویلر، مجموعه توربین‌های بخار، کنداسور و گرمکن‌های آب تغذیه می‌باشد.



شکل ۱ شماتیک اصلی نیروگاه بخار بندرعباس

### بازتوانی نیروگاه بخار

راندمان کنونی نیروگاه بخار بندرعباس ۲۲ تا ۲۵ درصد می‌باشد. همان‌گونه که در بخش مقدمه ذکر شد، از بویلرهای بازیاب حرارت دوفشاره متداول در نیروگاه‌های سیکل ترکیبی برای مدل‌سازی بازتوانی نیروگاه استفاده شده است. در این پژوهش بازتوانی برای دو ساختار تک‌فشاره و دوفشاره ارائه شده است (شکل ۲ و ۳). با در نظر گرفتن چنین روندی، در چهار سناریو و از ۲ تا ۵ توربین گاز در بازتوانی انتخاب و در هر حالت به بهینه‌یابی سیکل پرداخته شده است.

توان خالص خروجی از سیکل بازتوانی شده برابر مجموع توان خالص خروجی از توربین(های) گاز ( $\dot{W}_{net,GT}$ ) و توربین بخار ( $\dot{W}_{net,ST}$ ) می‌باشد.

$$\sum_i \dot{W}_i = \dot{W}_{net,GT} + \dot{W}_{net,ST} \\ = (N \cdot \dot{m}_{f,Cch} + \dot{m}_{f,DB}) \cdot \gamma_f \cdot LHV \quad (4)$$

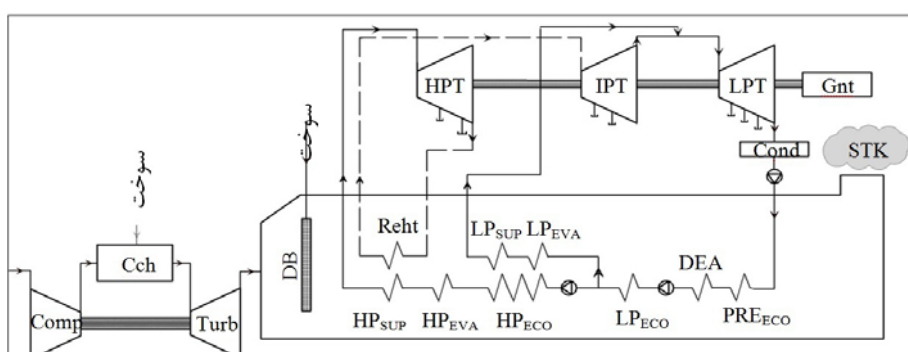
#### تابع هزینه برق تولیدی

پارامتر هدف در مدل‌سازی اقتصادی هزینه هر کیلووات ساعت برق تولیدی نیروگاه به صورت تابعی از هزینه سرمایه‌گذاری اولیه برای خرید تجهیزات ( $Z_c$ ), هزینه تعمیر و نگهداری ( $Z_{OM}$ ) و هزینه سوخت ( $Z_f$ ) به صورت زیر محاسبه می‌گردد:

$$Z_E = Z_c + Z_{OM} + Z_f \quad (10)$$

تجهیزات مورد نیاز شامل توربین گاز، بویلر بازیاب حرارت، داکت برنر و مبدل‌های آب-گاز می‌باشد. هزینه خرید هر کدام از این تجهیزات با واحد دلار در مرجع [12-15] ارائه شده است. قیمت هر کیلووات ساعت برق تولیدی در نهایت با ترکیب روابط به صورت زیر محاسبه می‌گردد:

$$Z_E = \left( \frac{TCI \cdot CRF \cdot \phi}{\dot{W} \cdot H} \right) + C_f \cdot HR_{pp} [\$/Kwh] \quad (11)$$



شکل ۳ شکل تغییر ساختار یافته نیروگاه بخار بندرعباس پس از بازتوانی با بویلر بازیاب حرارت دوفشاره

را به خود اختصاص می‌دهد، ولی در سوخت‌ها این اگررژی از اهمیت بالایی برخوردار می‌باشد [9].

اگررژی شیمیایی سوخت‌های هیدروکربنی با فرمول شیمیایی  $C_aH_b$  با استفاده از روابط (۶ و ۵) محاسبه می‌گردد [10]

$$e_f^{CH} = LHV \cdot \gamma_f \quad (5)$$

$$\gamma_f = 1.033 + 0.0169 \frac{b}{a} - \frac{0.0698}{a} \quad (6)$$

در روابط بالا  $\gamma_f$  به عنوان ضریب درجه اگررژی سوخت و LHV به عنوان ارزش حرارتی پایین سوخت تعريف شده است [8, 11]. رابطه (7) معرف تابع هدف راندمان اگررژی سیستم می‌باشد.

$$\eta_{ex,RC} = \frac{\sum_i \dot{W}_i}{\sum_i \dot{E}_f} \quad (7)$$

در این معادله  $\dot{E}_f$  اگررژی سوخت ورودی به نیروگاه است که در برگیرنده سوخت مصرفی محفظه احتراق توربین‌های گاز ( $\dot{E}_{f,Cch}$ ) و داکت برنر ( $\dot{E}_{f,DB}$ ) می‌باشد.

$$\sum_i \dot{E}_f = \dot{E}_{f,Cch} + \dot{E}_{f,DB} \quad (8)$$

گرفته‌اند. متغیر اول تعداد توربین‌های گاز مورد استفاده در بازتوانی است. همان‌گونه که از شکل‌های (۵ و ۴) نیز قابل مشاهده است، با افزایش تعداد توربین‌های گاز راندمان اگررژی سیستم کاهش و هزینه برق تولیدی سیستم افزایش می‌یابد. این حالت به‌دلیل راندمان نسبتاً کم توربین‌های گاز قابل پیش‌بینی است زیرا با افزایش تعداد توربین‌های گاز اثر راندمان آنها در برآیند راندمان کلی سیکل بازتوانی اثر گذاشته و راندمان سیکل کلی کاهش یافته است. احتراق اضافی معمولاً برای بالا بردن پایداری سیستم در تولید توان در شرایط ایجاد تغییرات محیطی در سیکل‌های ترکیبی مورد توجه قرار می‌گیرد. احتراق سوخت اضافی چون در جهت بالا بردن توان تولیدی سیکل ترکیبی نیست، باعث کاهش راندمان کلی سیکل ترکیبی می‌شود. در نمودار شکل-های (۷ و ۶) اثر احتراق اضافی بر راندمان و هزینه برق تولیدی نیروگاه نشان داده شده است. با افزایش دبی سوخت داکت برتر راندمان در حال کاهش و هزینه برق تولیدی سیستم افزایش یافته است. محدوده معرفی شده برای سوخت مصرفی داکت برتر باعث کاهش راندمان بیش از ۲ درصد نیروگاه بازتوانی شده است.

نسبت دبی بخار خروجی از بخش فشار بالا به کل بخار خروجی از بویلر بازیاب حرارت بر میزان جذب حرارت در بویلر، توان کلی سیستم و در نهایت بر راندمان سیکل بازتوانی مؤثر است.

## بهینه‌سازی سیکل جدید

در پژوهش حاضر از روش تکاملی الگوریتم ژنتیک برای انجام فرآیند بهینه‌سازی استفاده شده است. این الگوریتم به‌دلیل هم‌گرایی به کمینه‌های عمومی، با وجود عدم دست‌یابی به دقیق ترین جواب مسئله، با فاصله ناچیزی به مقدار بهینه کلی سیستم تحت بررسی همگرا خواهد شد. در انجام بهینه‌سازی شش متغیر مستقل در نظر گرفته شده است که مشخصات این متغیرها در جدول (۱) معرفی شده‌اند.

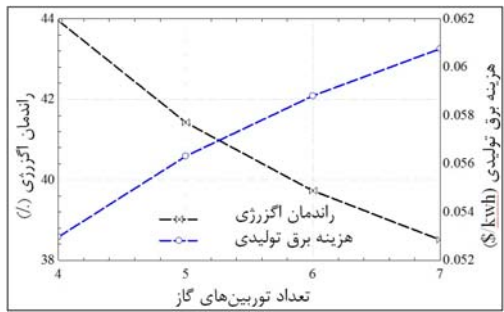
اعمال برخی محدودیت‌ها نیز در برنامه مدل‌سازی از موارد لازم برای انطباق واقعی‌تر سیکل مدل‌سازی با سیکل واقعی است. دمای خروجی از بویلر بازیاب حرارت از محدودیت‌های موجود در بهینه‌سازی سیکل بازتوانی است، که به‌دلیل جلوگیری از ایجاد نقطه شبنم حداقل این دما برابر با ۱۲۰ درجه سانتی‌گراد در نظر گرفته شده است [16]. برخی محدودیت‌های موجود در سیکل بخار به عنوان متغیر مستقل مورد توجه قرار گرفته‌اند و محدوده مجاز این متغیرها با توجه به حدود موجود در سیکل بخار تعیین شده است.

## نتایج و تحلیل

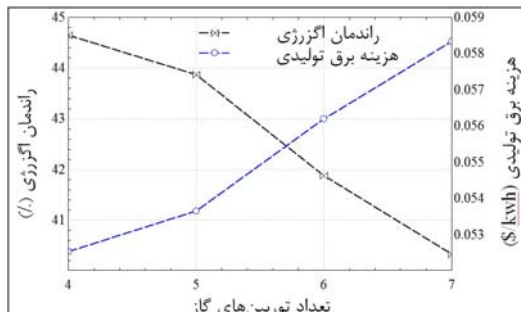
در این بخش به‌منظور تحلیل سیکل بهینه‌سازی به تحلیل تأثیر متغیرهای مستقل بر توابع هدف سیستم پرداخته شده است. این متغیرها به‌دلیل اهمیت و نقش تعیین‌کننده آنها در عملکرد بویلر مورد توجه قرار

جدول ۱ مشخصات و محدودیت‌های متغیرهای مستقل

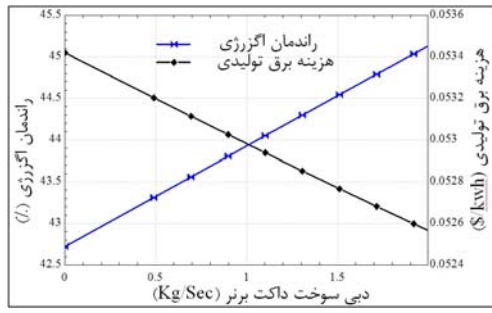
متغیر مستقل	نماد	محدوده بهینه‌یابی	دلیل بازه مورد توجه
دبی خروجی از توربین‌های بخار	L	۰/۳۷۳ تا ۰/۳۵	حداکثر دبی قابل پذیرش کندانسور
نسبت دبی بخار فشار بالا به دبی بخار تولیدی بویلر	y	۰/۸۸ تا ۰/۶۴	حدود دبی مجاز برای تولید در تولید بویلرهای بازیاب داخلی
محدوده دمای پینچ در سطوح فشاری مختلف بویلر	$T_{hp,pinch}, T_{lp,pinch}, T_{pre,pinch}$	۰ تا ۱۵ (oC)	در نظر داشتن راندمان سیستم و سایز مبدل (بحث هزینه)
دبی سوخت داکت برتر (احتراق کمکی)	$\dot{m}_{f,DB}$	۰ تا ۲ (kg.sec-1)	سوختن سطوح حرارتی بویلر



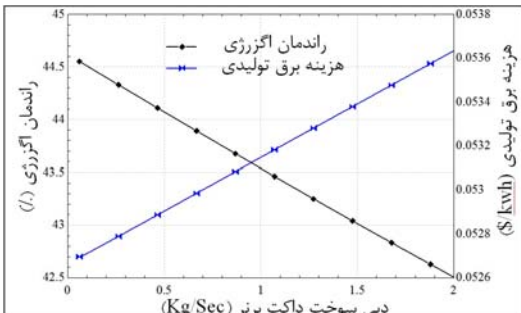
شکل ۵ بررسی تأثیر تعداد توربین‌های گاز بر راندمان اگزرسی و هزینه هر کیلووات ساعت برق تولیدی نیروگاه در حالت بازتوانی با بویلر بازیاب حرارت دوفشاره



شکل ۴ بررسی تأثیر تعداد توربین‌های گاز بر راندمان اگزرسی و هزینه هر کیلووات ساعت برق تولیدی نیروگاه در حالت بازتوانی با بویلر بازیاب حرارت تک‌شاره

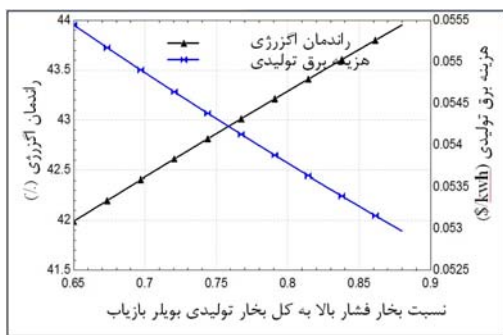


شکل ۷ نمودار تغییرات راندمان اگزرسی و هزینه برق تولیدی نیروگاه بر مبنای تغییرات دبی سوخت داکت برتر در بازتوانی با استفاده از بویلر بازیاب دوفشاره.



شکل ۶ نمودار تغییرات راندمان اگزرسی و هزینه برق تولیدی نیروگاه بر مبنای تغییرات دبی سوخت داکت برتر در بازتوانی با استفاده از بویلر بازیاب تک‌شاره.

سیستم و از یک نقطه به بعد در جهت کاهش راندمان سیستم خواهد بود (شکل ۹ و ۱۰).



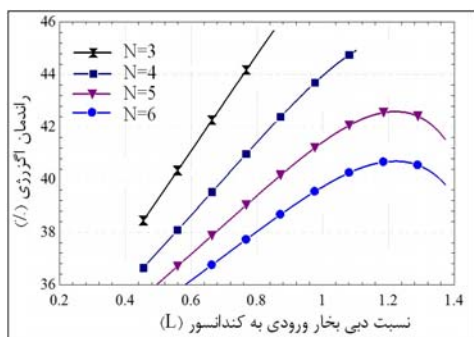
شکل ۸ نمودار تغییرات راندمان اگزرسی و هزینه برق تولیدی نیروگاه بر مبنای تغییرات دبی بخار ورودی به توربین فشار بالا

همان‌گونه که در نمودار شکل (۸) مشاهده می‌شود با افزایش این نسبت، راندمان سیکل بازتوانی به دلیل اثر افزایش توان بخش بخار نیروگاه، باعث افزایش راندمان نهایی سیکل ترکیبی شده است. روند افزایش این نسبت در جهت کاهش هزینه برق تولیدی نیروگاه است.

همان‌گونه که قبلاً نیز بیان شد، افزایش تعداد توربین‌های گاز در جهت کاهش راندمان کلی سیکل بازتوانی است. اما با توجه به نمودار خروجی برنامه مدل‌سازی، افزایش و بالا رفتن دبی کلی بخار خروجی از توربین‌های بخار (در محدوده مجاز ظرفیت کندانسور) در یک محدوده باعث افزایش راندمان

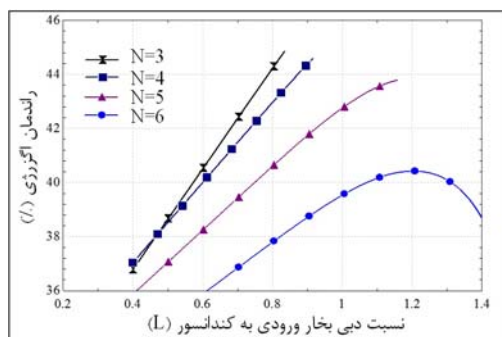
از بویلر بازیاب حرارت، راندمان نیروگاه به‌طور محسوسی کاهش می‌یابد. افت پله‌ای راندمان در شکل (۱۲) به‌دلیل افزایش تعداد توربین‌های گاز می‌باشد. هم‌چنین اولین تصادف پینچ در بویلر بازیاب حرارت مربوط به اوپراتور خط فشار بالا می‌باشد. اهمیت این بخش به‌دلیل تأثیر آن بر سایر پینچ‌ها در بویلر بازیاب حرارت می‌باشد.

در این نمودار دیده می‌شود که در تمام حالات بازتوانی با تعداد توربین گاز متفاوت، افزایش اختلاف دمای پینچ اوپراتور فشار بالا، کاهش راندمان اگزرژی سیستم را در پی دارد.

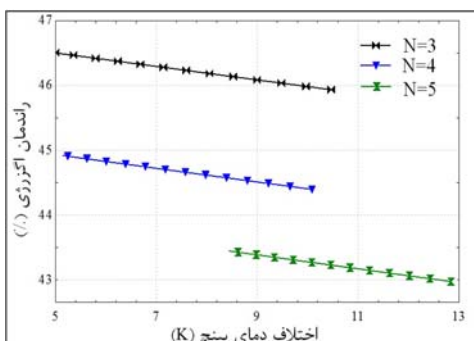


شکل ۱۰ بررسی اثر تغییرات نسبت دبی بخار ورودی به کندانسور (L) بر راندمان اگزرژی نیروگاه بازتوانی شده با بویلر دوفشار، در تعداد توربین‌های گاز متفاوت

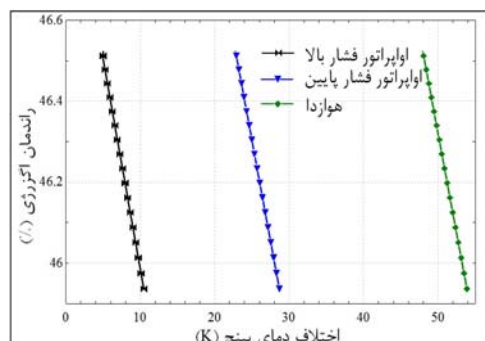
نمودار شکل (۱۱) نشان‌دهنده تأثیر تغییرات اختلاف دمای پینچ بر راندمان اگزرژی نیروگاه بازتوانی شده با سه توربین گاز می‌باشد. در این نمودار دیده می‌شود که افزایش اختلاف دمای پینچ برای هر اوپراتور موجب کاهش راندمان کلی نیروگاه شده است. در واقع افزایش دمای پینچ به معنای کاهش جذب حرارت گاز توسط آب تغذیه و درنتیجه اتلافات حرارتی بیشتر از طریق دودکش نیروگاه می‌باشد و این دلیل مستدل برای رویه ارائه شده در شکل (۱۱) می‌باشد. با استفاده از توربین گاز بیشتر، بدون اعمال تغییراتی در دبی آب تغذیه و دما و فشار بخار خروجی



شکل ۹ بررسی اثر تغییرات نسبت دبی بخار ورودی به کندانسور (L) بر راندمان اگزرژی نیروگاه بازتوانی شده با بویلر تک‌فشاره، در تعداد توربین‌های گاز متفاوت



شکل ۱۲ بررسی اثر اختلاف دمای پینچ تبخیرکننده فشار بالا بر راندمان اگزرژی نیروگاه بازتوانی شده در تعداد توربین گاز متفاوت



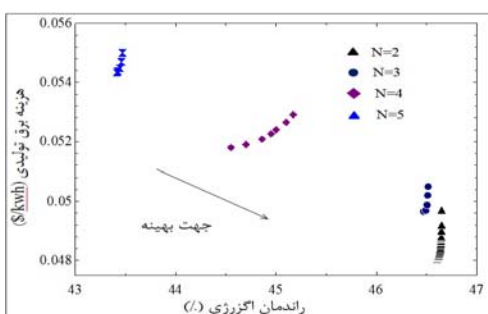
شکل ۱۱ بررسی اثر تغییرات اختلاف دمای پینچ بر راندمان اگزرژی نیروگاه بازتوانی شده با سه توربین گاز

به آن امکان پذیر نمی باشد، در اینجا در حالت های بهینه سازی انجام شده، نزدیک ترین نقطه به نقطه تعادل در منحنی پارتو، به عنوان نقطه بهینه فنی و اقتصادی سیستم در نظر گرفته شده است.

شکل (۱۴) نمونه ای از انتخاب این نقطه می باشد که در سایر حالات نیز چنین رویه ای به کار گرفته می شود. روش تعیین نقطه بهینه فنی و اقتصادی براساس پژوهش صیادی و مهرابی پور [۱۷] انتخاب شده است که حالتی بهینه از راندمان اگزرزی و زمان بازگشت سرمایه را برای یک سیکل گازی بررسی نموده اند [۱۷]. در نهایت خصوصیات نقاط بهینه فنی و اقتصادی سیستم در جدول (۲) به تفکیک حالت های مورد نظر بیان شده است.

با در نظر گرفتن این خصوصیات به ترتیب حالت های بازتوانی با دو، سه، چهار و پنج توربین گاز در بازتوانی سیکل مزیت نسبی خواهند داشت. رنج بهینه یابی شده برای هر کدام از حالت ها و نسبت این رنج ها در مقایسه با سایر حالت های بررسی شده در نمودار شکل های (۱۴) و (۱۳) بیان شده است.

استفاده از بویلر بازیاب حرارت تک فشاره در بازتوانی نیروگاه مطابقت بیشتری با سیکل اصلی دارد (شکل ۱ و ۳) ولی همان گونه که در داده های جدول (۲) دیده می شود، محدودیت اختلاف دمای پینچ در تبخیر کننده فشار بالا (حداقل مقدار پینچ برابر ۵ درجه کلوین [۱۸]) مانع از افزایش بخار و روغنی به بویلر بازیاب (L) و درنتیجه موجب تولید بخار کمتر، کاهش توان و افزایش هزینه برق تولیدی می گردد.

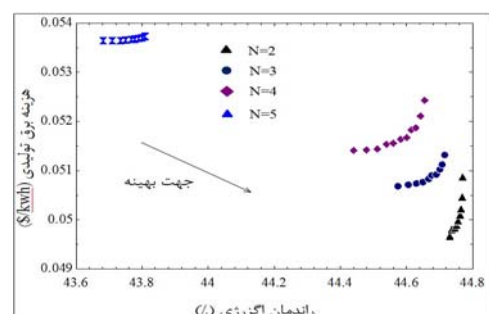


شکل ۱۴ نمودار پارتو برای ۲، ۳، ۴ و ۵ توربین های گاز در حالت استفاده از بویلر بازیاب حرارت تک فشاره

## نتایج بهینه سازی

نتایج بهینه سازی با در نظر گرفتن چهار سناریوی مختلف و با توجه به تعداد توربین های گاز مناسب با توان هر بخش انجام شده است. نتایج بهینه سازی دو هدفه در نمودارهای شکل های (۱۴) و (۱۳) نشان داده شده است. با اضافه شدن توربین های گاز در سیکل بازتوانی اثر راندمان این سیستم ها بر راندمان کلی سیکل تاثیر گذاشته است و میانگین راندمان به دست آمده در طی فرآیند بهینه یابی با افزایش تعداد توربین های گازی در حال کاهش و هم چنین هزینه تمام شده برق تولیدی نیز روندی صعودی دارد. اساس کار و تولید این منحنی بدین گونه است که برای هر نقطه هزینه حداکثر را مشخص کرده و فرآیند بهینه سازی حداکثر راندمان اگزرزی را در این نقطه جستجو می نماید. در این جستجو راندمان اگزرزی با محدودیت هزینه به عنوان تابع هدف جهت به حداکثر رساندن انتخاب شده و با تغییر پارامترهای مستقل ارائه شده در جدول (۱) (در محدوده تغییرات مشخص شده)، مقدار حداکثر راندمان اگزرزی تعیین می گردد.

هدف از بهینه سازی دو هدفه در تحقیق حاضر، یافتن نقطه ای است که در آن سیستم با صرف حداقل هزینه برق تولیدی، حداکثر راندمان اگزرزی را به خود اختصاص دهد. مختصات این نقطه که با عنوان نقطه تعادل مشخص شده است، معروف هم زمان حداقل هزینه برق تولیدی و حداکثر راندمان اگزرزی می باشد. اگرچه این نقطه یک حالت ایده آل است و دست یابی



شکل ۱۳ نمودار پارتو برای ۲، ۳، ۴ و ۵ توربین های گاز در حالت استفاده از بویلر بازیاب حرارت تک فشاره

جدول ۲ مشخصات فنی و اقتصادی سیستم در نقاط بهینه

بازتوانی با بویلر بازیاب حرارت دوفشاره					بازتوانی با بویلر بازیاب حرارت تک‌فشاره					واحد	نام متغیر
۵ توربین	۴ توربین	۳ توربین	۲ توربین		۵ توربین	۴ توربین	۳ توربین	۲ توربین			
۰	۰/۷۲۸۳	۱/۲۴	۱/۶۸۸		۰	۰/۰۶۴	۱/۵۲۸	۱/۹۹۱	Kg/sec	دبی سوخت	
۱/۲۱۸	۱/۱۱۲	۱/۰۷۵	۰/۷۴۷۷		۱/۱۶۶	۰/۹۲۰۱	۰/۷۵۵۸	۰/۶۰۱۶	---	L	
۸/۴۵	۵/۱۷۹	۵/۰۰	۵/۰۱۵		۵/۰۱۳	۵/۰۲۸	۵/۰۲	۵/۰۴۲	K	اختلاف دمای پینچ در اکونومایزر فشار بالا	
۱۰۲/۴	۸۰/۲۱	۲۲/۹۷	۲۹/۳۹		---	---	---	---	K	اختلاف دمای پینچ در اکونومایزر فشار پایین	
۱۴۶/۴	۱۱۴/۲	۴۸/۱۴	۳۹/۰۳		---	---	---	---	K	اختلاف دمای پینچ در هوازدا	
۰/۸۸	۰/۸۴۵۷	۰/۹۶۶	۰/۷۴۷		---	---	---	---	---	Y	
۴۵/۴۴۷۵	۴۴/۹۱	۴۶/۵۰۴	۴۶/۶۳		۴۳/۷۷۴۶	۴۴/۶۲۲	۴۴/۶۹۱۱	۴۴/۶۸۴	%	راندمان	
۰/۰۵۴۴۹	۰/۰۵۲۱۳	۰/۰۴۹۷۷	۰/۰۴۸۳		۰/۰۵۳۶۶	۰/۰۵۱۸۱	۰/۰۵۰۹۲	۰/۰۵۰۸۹	\$/kWh	هزینه برق تولیدی	
۱۱۱۲	۹۳۶/۲	۷۴۳/۴	۵۱۷/۵		۱۱۲۲	۹۱۷۹	۷۱۰/۳	۵۰۴/۱	MW	توان کل سیکل	
۱۴۵۸	۱۱۵۵	۸۵۸/۲	۵۹۴/۵		۱۴۴۶	۱۱۴۲	۸۸۲/۵	۷۲۴/۷	MW	نهادم اگررژی نیروگاه	
۸۰۳۸	۷۷۷۵	۷۵۱۰	۷۴۸۹		۷۹۷۱	۷۸۲۰	۷۷۱۰	۷۸۰۲	kJ/kW.h	نرخ حرارت کل	
۵۰۲	۴۷۰	۳۹۳/۵	۳۹۳/۱		۵۰۷/۹	۵۰۹/۶	۴۹۸/۵	۴۷۳	K	دماهی دود خروجی از بویلر بازیاب حرارت	

می‌باشد. در بخش صنعت نیز به دلیل وابستگی این بخش به نیازهای روز کشور در جهت تأمین برق مورد نیاز شبکه، علاوه بر دو پارامتر راندمان اگررژی و هزینه برق تولیدی، پارامتر توان تولیدی نیروگاه نیز از اهمیت بالایی برخوردار است. از این‌رو نتایج جدول (۲) امکان انتخاب سیکل مورد نظر توسعه پیمانکاران و صاحبان صنایع تولیدی برق را فراهم می‌نماید.

### نتیجه‌گیری

با توجه به نتایج به دست آمده اعمال بازتوانی کامل (با استفاده از تجهیزات متداول در احداث نیروگاه‌های سیکل ترکیبی در ایران)، قابلیت ارتقای راندمان اگررژی نیروگاه بندرعباس را تا بیش از ۴۶٪ فراهم می‌نماید. با توجه به سناریوهای ارائه شده، صرف‌نظر از میزان توان تولیدی، خصوصیات مطلوب سیکل بازتوانی (ارتقای راندمان و کاهش هزینه برق تولیدی) با استفاده از دو عدد توربین گاز بیشتر از سه توربین گاز می‌باشد و این روند با افزایش تعداد توربین‌های گاز ادامه می‌یابد. در نهایت به نظر می‌رسد که با اجرایی شدن قانون هدفمندسازی یارانه‌ها و لزوم ارتقای

همان‌گونه که قبلاً نیز بیان گردید با افزایش تعداد توربین‌های گاز در خصوصیات مطلوب فنی و اقتصادی سیکل بازتوانی کاهش می‌یابد. چنین روندی در نمودار شکل‌های (۱۳ و ۱۴) نشان داده شده است. جدول (۲) نشان می‌دهد که استفاده از هر بویلر در شرایط مختلف نتایج متفاوتی از شرایط فنی و اقتصادی نیروگاه بازتوانی ارائه می‌دهد. به‌طور کلی در تعداد توربین‌های کم (۲ و ۳ توربین گاز)، بهترین حالت فنی و اقتصادی (حداقل هزینه برق تولیدی و حداقل راندمان اگررژی) مربوط به استفاده از بویلر بازیاب دوفشاره می‌باشد.

به‌طور کلی میانگین هزینه تولید برق با سوخت یارانه‌ای و غیریارانه‌ای به ترتیب برابر ۴/۸۹ و ۱۰/۷۸ سنت به‌ازای هر کیلووات ساعت برق تولیدی محاسبه شده است [۴]. با فرض ۳۰ درصد هزینه‌های جانبی مانند هزینه توزیع و...، هزینه تمام‌شده برق تولیدی در نیروگاه، برابر ۷/۵۵ سنت (۰/۰۷۵۵ دلار) می‌باشد. نتایج ارائه شده در جدول (۲) برای هزینه برق تولیدی نیروگاه نشان می‌دهد که تغییر ساختار نیروگاه موجب ایجاد هزینه‌ای کمتر از میانگین هزینه‌ها شده است و این به معنای بهبود عملکرد نیروگاه در این حالت

افزایش راندمان و کاهش هزینه برق تولیدی نیروگاه را در پی خواهد داشت، ولی به دلیل دارا بودن شرایط فنی-اقتصادی بهینه و همچنین توان تولیدی مناسب در بازتوانی با استفاده از بویلهای بازیاب دوفشاره، به کارگیری این نوع از بویلهای در بازتوانی نیروگاه بخار بندرعباس پیشنهاد می‌گردد.

راندمان نیروگاه‌های حرارتی، استفاده از چنین روش‌هایی در بالا بردن کیفیت تولید برق در کشور از موارد ضروری خواهد بود، که انتخاب روش بازتوانی مناسب بر پایه توجه به میزان اهمیت سه تابع راندمان اگزرژی، هزینه برق تولیدی و توان خالص نیروگاه، صورت می‌گیرد. اگرچه استفاده از بویلهای بازیاب تک‌فشاره در بازتوانی نیروگاه نسبت به سیکل مرجع

## مراجع

1. Mehrpanahi, A., Hossienalipour, S.M. and Mobini, k., "Investigation of the effects of repowering options on electricity generation cost on Iran steam power plants", *International Journal of Sustainable Energy*, Vol. 32, No. 4, pp. 229-243, (2013).
2. Rackley, S., "Carbon Capture and Storage", Gulf Professional Publishing, (2009).
3. Brander, J.A. and Chase, D.L. "Repowering Application Considerations", *Journal of Engineering for Gas Turbines and Power*, Vol. 114, pp. 643-652, (1992).
4. ترازname انرژی ایران، شرکت توانیر، ۱۳۸۹.
5. Dincer, I. and Rosen, M.A., "Exergy, Energy, Environment and Sustainable Development", Elsevier, 1<sup>st</sup> Edition, June (2007).
6. Bilgen, S. and Kaygusuz, K., "Second Law (Exergy) Analysis of Cogeneration System", *Energy Sources, Part A: Recovery, Utilization, and Environmental Effects*, Vol. 30, No. 13, pp. 1267-1280, (2008).
7. Bejan, A., Tsatsaronis, G. and Moran, M., "Thermal design and optimization", New Yourk: John wiley & Sons, (1996).
8. Balli, O., Aras, H. and Hepbasli, A., "Exergetic performance evaluation of a combined heat and power (CHP) system in Turkey", *International Journal of energy research*, Vol. 31, pp. 849–866, (2007).
9. Szargut, J., Morris, D.R. and Steward, F.R., "Exergy analysis of thermal, chemical, and metallurgical processes", New York: Hemisphere, (1988).
10. Aljundi, I., "Energy and exergy analysis of a steam power plant in Jordan", *Applied Thermal Engineering*, Vol. 29, pp. 324-328, (2009).
11. Dincer, I. and Cengel, Y.A., "Energy, entropy and exergy concepts and their roles in thermal engineering", *Entropy*, Vol. 3, pp. 116-149, (2001).
12. حسینعلی‌پور، سید مصطفی، مهرپناهی، عبدالله و میبینی، کامران، "بررسی اثر انجام بازتوانی کامل بر ارتقاء خصوصیات فنی-اقتصادی یک نیروگاه بخار"، مجله مهندسی مکانیک مدرس، دوره ۱۱، شماره ۱، صص. ۱۸-۱ (۱۳۹۰).
13. Ahmadi, P. and Dincer, i., "Exergoenvironmental analysis and optimization of a cogeneration plant system using Multimodal Genetic Algorithm (MGA)", *Energy*, Vol. 35, pp. 5161-5172, (2010).
14. حسینعلی‌پور، سید مصطفی و مهرپناهی، عبدالله، "بررسی اقتصادی بازتوانی نیروگاه‌های بخار در مقایسه با احداث نیروگاه‌های گازی"، نشریه انرژی ایران، دوره ۱۲، شماره ۴، صص. ۶۲-۴۱ (۱۳۸۸).

15. Dixon, S.I., "Fluid Mechanics, Thermodynamics of Turbomachinery", 4<sup>TH</sup> Edition, pergammon press, (1998).
16. Escosa, J.M. and Romeo, L.M. "Optimizing CO<sub>2</sub> avoided cost by means of repowering", *Applied Energy*, Vol. 86, pp. 2351–2358, (2009).
17. Sayyaadi, H. and Mehrabipour, R., "Efficiency enhancement of a gas turbine cycle using an optimized tubular recuperative heat exchanger", *Energy*, Vol. 38, pp. 362-375, (2012).
18. Godoy, E., Benz, S.J. and Scenna, N.J., "A strategy for the economic optimization of combined cycle gas turbine power plants by taking advantage of useful thermodynamic relationships", *Applied Thermal Engineering*, Vol. 31, pp. 852-871, (2011).